



No. 1, 1385/2006 Spring & Summer



Mineralogy, type, and metallogenetic potential of alteration zones in Barandagh quadrangle, NE Zandjan, Iran.

H. Hadizadeh¹, A. A. Calagari^{1,2}, A. Abedini¹

1- Department of Geology, Natural Science Faculty, Tabriz University, Tabriz
51664, Iran.

2- Research Institute for Fundamental Sciences (RIFS), Tabriz 51664, Iran.
E-mail: calagari@tabriz.ac.ir

(Received 27/5/2005:, received in revised form: 11/11/2005)

Abstract: Barandagh quadrangle is located in northeast of Zandjan, and is a part of polymetallic region of Tarem-Zandjan. Field evidence and microscopic studies show an intimate relationship between geochemical anomalies and alteration zones in this area. Based on the field observations and mineralogical studies, these zones, in light of extent, locality, and constituent mineral assemblage, differ from one another, and are scattered along the main shear zone of the area and the margin of Ghezel-Ozan river. The major alteration zones in this area are affiliated with the shear zone, and can be categorized into two discrete alteration types: 1) hypogene acid-sulfate (e.g., silicified, alunitized, advanced argillic, sericitic, and propylitic zones) and 2) supergene acid-sulfate (characterized by minerals assemblage such as jarosite, alunite, goethite, gypsum, and native sulfur). Alteration zone along the margin of Ghezel-Ozan river consists of neutral-pH types of alterations (consisting mainly of argillic, calc-silicate-bearing, and zeolitic zones). In general, these alteration zones were developed by the function of a vast geothermal system during the late Oligocene to Mid-Miocene time. Date gathered indicate that the discrepancy in reaction rate between the fluids and the enclosing rocks caused the development of these two types of alterations. Note the type of alteration zones and the obtained results from geochemical exploration, show that this area possesses suitable potential for prospecting of Ag-Au epithermal and polymetallic (Cu, Pb, Zn, Au, Ag) deposits.

Keywords: Polymetallic region of Tarem-Zandjan, Barandagh, alteration zones, geothermal system, Au-Ag epithermal.



کانی‌شناسی، نوع و توان فلززایی زون‌های دگرسان در چهارگوش برندق(شمال شرق زنجان)

حسین هادی‌زاده^۱، علی اصغر کلاگری^{۱و۲} و علی عابدینی^۱

۱- گروه زمین‌شناسی، دانشکده علوم طبیعی، دانشگاه تبریز، کد پستی ۵۱۶۶۴، تبریز

۲- انسیستیتو تحقیقاتی علوم پایه، کد پستی ۵۱۶۶۴، تبریز

(دریافت مقاله ۱۳۸۴/۲/۷ ، دریافت نسخه نهایی ۱۳۸۴/۸/۲۰)

چکیده: چهارگوش برندق، واقع در شمال شرق زنجان، بخشی از حوزه چند فلزی طارم - زنجان است. شواهد صحرایی و مطالعات میکروسکوپی نشان از رابطه نزدیک بین بی‌هنجری‌های زمین‌شیمیایی بدست آمده و زون‌های دگرسان ناحیه دارند. بر اساس مشاهدات صحرایی و مطالعات کانی‌شناسی این زون‌های دگرسان از لحاظ وسعت، موقعیت مکانی، و مجموعه کانیهای تشکیل دهنده، متفاوت بوده و در امتداد زون برشی منطقه و حاشیه رودخانه قزل‌اوزن گسترش دارند. زون‌های دگرسان اصلی مرتبط با زون برشی منطقه، به دو نوع جدا از هم دگرسانی (۱) اسید سولفاتی هیپوژن (مثل زون‌های سیلیسی، آلونیتی، آرژیلیک پیشرفت، سریسیتی، و پروپلیتیک) و (۲) اسید سولفاتی سوپرژن (با مجموعه کانیایی جاروسیت، آلونیت، لیمونیت، گوتیت، ژیپس و سولفور طبیعی) طبقه‌بندی می‌شوند. زون دگرسانی حاشیه رودخانه قزل‌اوزن شامل انواع دگرسانی‌های با pH خنثی (زون‌های آرژیلیکی، کالک‌سیلیکاتی و زئولیتی) است. در کل این زون‌های دگرسان در اثر عملکرد یک سیستم زمین گرمایی وسیع طی الیگوسن فوقانی - میوسن میانی تشکیل شده‌اند. نتایج بدست آمده حاکی از آن است که تفاوت در میزان واکنش آبگونها با سنگهای دربرگیرنده باعث ایجاد این دو نوع دگرسانی شده است. با توجه به نوع زون‌های دگرسان و نتایج به‌دست آمده از بررسی‌های زمین‌شیمی اکتشافی، این ناحیه دارای پتانسیل مناسبی برای اکتشاف ذخایر طلا و نقره اپی‌ترمالی (وراگرمایی) و چند فلزی (طلا-نقره-مس-سرپ-روی) است.

واژه‌های کلیدی: حوزه چند فلزی طارم - هشجین، برندق، زون‌های دگرسان، سیستم زمین گرمایی، طلا و نقره / اپی‌ترمالی (وراگرمایی).

مقدمه

چهارگوش بندق در شمال غرب ایران، به مختصات جغرافیایی $30^{\circ}, 48^{\circ}$ تا $45^{\circ}, 48^{\circ}$ طول شرقی و $37^{\circ}, 15^{\circ}$ تا $37^{\circ}, 00^{\circ}$ عرض شمالی، در شمال شرق زنجان واقع شده است. این ناحیه از دیدگاه فلزایی به حوزه چند فلزی طارم - هشجین تعلق دارد. وجود توده‌های نفوذی اسیدی تا حد واسطه و دگرسانهای گسترده سبب شده است که این حوزه به لحاظ زمین‌شناسی جزء مناطق مستعدی برای اکتشاف و شناسایی کانسارهای فلزی و غیر فلزی محسوب شود [۱]. مطالعات مقدماتی روی مسائل زمین‌شناسی، سنگ‌شناسی و زمین‌شیمیایی اکتشافی توسط پژوهشگران متعددی روی سنگ‌های این حوزه صورت گرفته است. مؤید [۲ و ۳]، و مؤید و پور معافی [۴] سنگ‌های گرانیتی، گرانودیوریتی، کوارتزمنزونیتی و دیوریتی را به عنوان گونه‌های مهم سنگی توده‌های نفوذی این حوزه معرفی کردند و معتقدند که این سنگ‌ها دارای ماهیت شوشاونیتی و الکالن با پاتسیم بالا از نوع سنگ‌های گرانیتی‌وئیدی تیپ I هستند. دیوپس و همکاران [۵] مطالعات زمین‌شناسی ناحیه‌ای بندق را در قالب تهیه نقشه زمین‌شناسی ۱:۱۰۰۰۰۰ ماسوله به انجام رسانیده‌اند. درویش‌زاده و آسیابانها [۶] و حاج علیلو [۷] دگرسانهای وسیعی را در نواحی مختلف حوزه چند فلزی طارم- هشجین معرفی کردند.

شرکت مهندسین مشاور تهران پایر [۸] به بررسی پلاسرهای حاشیه رودخانه قزل اوزن پرداخته‌اند. تا سال ۱۳۸۲ مطالعات جامعی در مورد ویژگیهای زون‌های دگرسان در ناحیه بندق صورت نگرفته بود. در سال ۱۳۸۳ مطالعات صحرایی و زمین‌شیمی اکتشافی نسبتاً جامعی روی سنگ‌های این ناحیه توسط مؤلفین صورت گرفت و نتایج حاصله به صورت مقدماتی در سال ۱۳۸۳ توسط هادی زاده و همکاران [۹] ارائه شد. نوشتار حاضر اطلاعات نسبتاً جامعی از مطالعات انجام شده روی مسائل زمین‌شناسی از جمله کانی‌شناسی، نوع، سن، و شرایط تشکیل زون‌های دگرسان و توان فلزایی این ناحیه به دست می‌دهد.

زمین‌شناسی واحدهای سنگی

بر پایه مطالعات صحرایی و بررسی‌های سنگ‌نگاری مجموعه‌های سنگی آذرین- دگرگون بندق بیشتر در ۵ گونه سنگی مختلف شامل سنگ‌های آتشفسانی، آتشفسانی - رسوبی اثوسن (معادل سازند کرج)، توده‌های نفوذی الیگوسن (معادل سازند قرمز پایین و بالا)، سنگ‌های حاصل از دگرگونی ناحیه‌ای و مجاورتی قابل طبقه‌بندی و مطالعه هستند به طوریکه واحدهای کربناتی برشی (اواخر دونین تا تریاس)، کوارتزیت، توف، و شیل‌های آهکی (تریاس)، ماسه سنگ، شیل و کنگلومرا (معادل سازند شمشک به سن ژوراسیک)، آهک‌های ماسه‌ای سیلتی، ماسه سنگ‌های آهکی نومولیت‌دار (معادل سازند زیارت مربوط به پالئوسن)، و تنه‌نشسته‌های مارنی (الیگوسن فوقانی و میوسن) آنها را همراهی می‌کنند [۵]. سنگ‌های آتشفسانی ترکیبی در حد آندزیت، تراکی آندزیت، بازالت، داسیت، سنگ‌های آتشفسانی - رسوبی ترکیبی در حد توف سنگی شیشه‌ای، و توف سنگی بلورین دارند. سنگ‌های نفوذی الیگوسن شامل دو نوع استوک و یک نوع دایک هستند که از نظر ترکیب مودال، کوارتزمنزوندیوریت تا مونزونیت در آنها دیده می‌شوند. سنگ‌های حاصل از دگرگونی ناحیه‌ای از نظر رخساره‌ای در حد گرافیت فیلیت و سنگ‌های حاصل از دگرگونی مجاورتی که در حاشیه توده‌های نفوذی الیگوسن مشاهده می‌شوند، از نظر

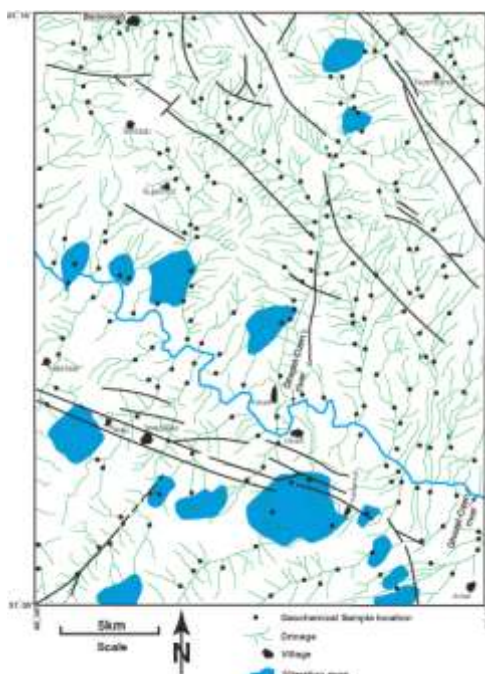
رخسارهای ترکیبی در حد اپیدوت هورنفلس دارند (جدول ۱). گرافیت فیلیت‌ها دستخوش گسلش و چین خوردگی فراوان شده، به طوریکه زون‌های گسله به وسیله تعدادی رگه‌های سیلیسی و هیدروکسید آهن پر شده‌اند. زون‌هایی از دگرسانی‌های مختلف به ویژه در مجاورت توده‌های نفوذی الیگومن بوفور، قابل مشاهده‌اند که با تنهشتهای مارنی و رسی سازند سرخ فوكانی پوشیده شده‌اند.

جدول ۱ مشخصات زمین‌شناسی و مقادیر مودال سنگ‌های آذرین، و دگرگونی ناحیه برندق [۱]

| سن [۱] | بافت سنگ | نام سنگ | کانی شناسی | | | وضعیت زمین شناسی | نوع سنگ |
|-----------------------------------|-------------------------------------|---------------------------------------|---|---|---|--|------------------------|
| | | | کانی‌های ثانویه | کانی‌های فرعی | کانی‌های اصلی | | |
| اواخر پالنوزن - اوایل نیوزن | گرانولار تا پورفیری گرانولار | کوارتزمونزودبوریت | اپیدوت کلریت رس | بیوتیت (۱۰-۵٪) آمفیبول (۰.۵٪) اویاک (۰.۲-۱٪) | پلازیوکلاز (۰.۶۰-۰.۵۵٪) فلدسبار پتاسیم (۰.۲۰-۰.۱۵٪) کوارتر (۰.۱۵-۰.۱٪) | استوک I | نیوزن |
| نیوزن | گرانولار تا پورفیری گرانولار | مونزودبوریت | اپیدوت، کلریت رس | بیوتیت (۰.۵٪) اسفن (۰.۲-۱٪) پیروکسن (۰.۵٪-۰.۳٪) | پلازیوکلاز (۰.۶۵-۰.۷٪) فلدسبار پتاسیم (۰.۲۵-۰.۲۰٪) کوارتر (۰.۱۵٪) | استوک II | |
| نیوزن | پورفیری گرانولار | مونزودبوریت | اپیدوت کلریت رس | بیوتیت (۰٪) آمفیبول (۰.۲-۱٪) پیروکسن (۰.۵٪-۰.۳٪) آپانیت (کمتر از ۰.۱٪) | پلازیوکلاز (۰.۷۵-۰.۷۰٪) فلدسبار پتاسیم (۰.۱۵٪) کوارتر (۰.۲۰٪) کمتر از ۰.۱٪ | دایک ها | |
| آنوسن زبرین | پورفیری تا میکرولیتی پورفیریک | آندریت - توف | کلریت | پیروکسن، بیوتیت، آمفیبول | پلازیوکلاز، کوارتر | گدازه‌های آندزیتی و توف های سبز رنگ | آنوسن زبرین |
| آنوسن زبرین | - | ربوداسیت | کلسیت، رس، سیدریت | - | پلازیوکلاز، کوارتر، فلدسبار پتاسیم | گدازه‌های ربوداسیتی | |
| آنوسن میانی | - | لیتیک ویتریک توف لیتیک کریستال توف | کلریت، کلسیت، کلسدونی، شیشه | اویاک | پلازیوکلاز، کوارتر | توف‌های خاکستری تیره تا سبز رنگ | آنوسن میانی |
| آنوسن میانی | - | آندریت تا آندزی - پورفیریک | کلریت، کلسیت بازالت | اویاک | پلازیوکلاز، آمفیبول، پیروکسن | گدازه‌های آندزی - بازالت | |
| آنوسن فوکانی | پورفیری و غباری | آندریت | کلریت، کلسدونی، رس | پیروکسن، آمفیبول، بیوتیت، اویاک | پلازیوکلاز | گدازه‌های آندزیتی | آنوسن فوکانی |
| آنوسن فوکانی | پورفیری تا پورفیری میکرولیتیک | آندریت | کلریت، اپیدوت، کلسیت، سریسیت، رس | پیروکسن، آمفیبول، اویاک | پلازیوکلاز، فلدسبار پتاسیم، کوارتر | گدازه‌های آندزیت پورفیری | |
| دونین تا برمن | چشمی (augen) | گرافیت فیلیت | کلسیت، اکسید آهن | اپیدوت، کلریت | گرافیت، موسکوویت، کوارتر | - | نمک‌منوفی نمک‌منوفی |
| الیگومن | توده‌ای | اپیدوت هورنفلس | اولیزیست | کلسیت | اپیدوت، کوارتر | - | نمک‌منوفی نمک‌منوفی |

زمین‌شیمی اکتشافی

برای تعیین محدوده بی‌هنجری‌های زمین‌شیمیایی در ناحیه برنده، با تلفیق نتایج حاصل از بررسی‌های توپوگرافی، زمین‌شناسی و ژئوفیزیک هوایی، محل تعداد ۲۱۴ نمونه زمین‌شیمیایی در پایین دست گسل‌ها، همبری‌های مهم زمین‌شناسی، مناطق با چگالی گسلی بالا، ناهنجری‌های زمین‌فیزیکی و گسلهای پنهان معین شد (شکل ۱). پس از نمونه‌برداری (برداشت ۲۰۰ گرم از هر نمونه بعد از الک با مش ۸۰)، نمونه‌های برداشت شده، ۲۲ عنصر مورد تجزیه‌شیمیایی قرار گرفتند به طوریکه برای تعیین مقادیر Au و Hg نمونه‌ها از روش AAS، برای تعیین مقادیر Cr, Mn, Cu, Ni, Sr, Ba, Ti, Fe از روش ICP-ES و برای اندازه‌گیری مقادیر بقیه عناصر از روش ICP-MS استفاده شد. پردازش‌های آماری یافته‌های تجزیه‌ای زمین‌شیمیایی، موجب شناسایی بی‌هنجری‌های اولیه‌ای از عناصر مختلف شده است. برای کنترل بی‌هنجری‌های زمین‌شیمیایی اولیه ۲۳ نمونه کانی سنگین از محل بی‌هنجری‌های اولیه برداشت شدند (برداشت ۵۰۰۰cc از هر نمونه بعد از الک با مش ۲۰). نمونه‌های کانی سنگین برداشت شده پس از گل‌شویی، تحت عملیات لاوک شویی قرار گرفته و کانیهای سنگین جدا شده پس از جدایش مغناطیسی در سازمان زمین‌شناسی کشور مورد بررسی‌های میکروسکوپی قرار گرفتند و در صد آنها بر حسب ppm در نمونه‌ها مشخص شد. پس از آماده سازی نمونه‌ها، نتایج حاصله به همراه نتایج به دست آمده از مطالعه، ۲۳



شکل ۱. نقشه آبراهه‌های ناحیه برنده که در آن موقعیت زون‌های گسلی، موقعیت نمونه‌های برداشت شده و زون‌های دگرسانی نشان داده شده‌اند. موقعیت زون‌های گسلی از نقشه زمین‌شناسی ۱:۱۰۰۰۰۰ ماسوله [۵] اقتباس شده است.

نمونه کانی سنگین پلاسرهای حاشیه رودخانه قزل اوزن [۸] مورد تجزیه و تحلیل آماری قرار گرفتند. پس از پردازش نهایی، کانیهای سنگین به دو گروه کانی‌های سنگ‌ساز (زیرکن، آپاتیت، روتیل، گارنت، پیروکسن، آمفیبول، اپیدوت، و کلریت) و کانیهای مرتبط با نهشته‌های کانی سازی شده (باریت، گالن، هماتیت، سرسویت، پیریت، اولیژیست، سرب طبیعی، جاروسیت، لیمونیت، روی طبیعی، اسمیت‌سوئیت، گوتیت، مس طبیعی، کریزوکلا، و ملاکیت) تفکیک شدند. پردازش‌های آماری، ترسیم نمودارهای ستونی و نمودارهای تجمعی برای هر یک از نمونه‌های کانی سنگین و تلفیق نتایج آن با بررسی‌های صحرایی و آزمایشگاهی منتهی به شناسایی ۱۰ محدوده بی‌هنجری از عناصر W , Zn , Pb , Mo , Co , Bi , Hg , Au , W , Ag , Sn , As , Sb گردید [۱۰] که بیشتر به طور تنگاتنگ با زون‌های دگرسان و کانی‌سازی‌های رگهای و پراکنده در ارتباطند. بررسی‌های انجام شده نشان می‌دهد که عناصر سرب، روی، مس، استرانسیوم، مولیبدنیوم و منگنز در چهار نمونه کانی سنگین دارای عیاری در حد کانی سازی اقتصادی هستند.

کانی شناسی لکه‌های دگرسان

مشاهدات صحرایی نشان می‌دهند زون‌های دگرسان در مجاورت توده‌های نفوذی بزرگ کوارتز‌مونزون‌دیوریتی تا مونزونیتی و دایک‌های نفوذی پورفیری مونزون‌دیوریتی تا مونزونیتی الیگومن گسترش فراوانی دارند. بر اساس مطالعات سنگ نگاری و کانی شناسی کوارتز، آلونیت، کائولینیت، سرسیت، پیریت، جاروسیت، لیمونیت، اپیدوت، کلریت، زئولیت، فلدسپار پتاسیم، آلبیت، پرهنیت، مگهیمت، و کلسدونی کانی‌های تشکیل دهنده این زون‌ها هستند. شواهد صحرایی و مطالعات آزمایشگاهی نشان می‌دهند دو نوع زون دگرسان در منطقه وجود دارند که هر کدام دارای مجموعه کانی‌ای خاص خود بوده و از نظر توزیع مکانی، وسعت، و بی‌هنجری‌های زمین‌شیمیایی با یکدیگر اختلاف دارند.

۱- زون‌های دگرسانی وابسته به زون برشی منطقه: زون‌های دگرسان بخش جنوبی رودخانه قزل اوزن در حوالی روستاهای انزه، کالج آباد، کالده‌مالین، کلویم، سرخ آباد، و پازکی بیشتر در طول یک زون برشی و شکستگی‌های اطراف آن مشاهده می‌شوند و منطبق بر زون‌های با چگالی گسلی بالا هستند (شکل ۱). این زون‌ها از گستردگی بالایی برخوردار بوده و بیشتر ارتفاعات را تشکیل می‌دهند. نمونه‌های زمین‌شیمیایی برداشت شده از محدوده این دگرسانی‌ها نسبت به عناصر Ag , Bi , Hg , Sb , As بی‌هنجری نشان می‌دهند. این زون‌ها در بخش‌هایی با سنگ میزبان توفیقی دارند نسبت به بخش‌هایی که سنگ میزبان آندزیتی دارند، به دلیل تخلخل بالا، گسترش بیشتری دارند. سنگ میزبان این زون‌ها حاوی مقادیر قابل ملاحظه‌ای پیریت هستند. در واقع زون برشی منطقه به عنوان مجرایی برای عبور شاره‌های گرمابی عمل کرده است، به طوریکه در اثر واکنش این محلولها با سنگ‌های آتشفسانی، استوک‌ها و دایک‌های نفوذی پورفیری سبب پیدایش و توسعه زون‌های دگرسان شده‌اند. این زون‌های

دگرسان در بخش‌های مختلف از نظر ترکیبی مشابه هم بوده و شامل دو نوع دگرسانی (۱) هیپوژن و (۲) سوپرژن هستند.

الف) دگرسان هیپوژن: این دگرسان دارای زون‌بندی بوده و شامل زون‌های سیلیسی (کوارتز + کلسدونی)، آلونیتی (آلونیت + کوارتز)، آرژیلیک پیشرفت (کوارتز + آلونیت + کائولینیت + پیریت + سریسیت + کلسدونی)، فیلیک (کوارتز + سریسیت + پیریت + کائولینیت) (شکل ۲a)، و پروپلیتیک (کلریت + اپیدوت + زئولیت + کلسیت + پرهنیت + مگمهیت) است (شکل ۲b). دگرسانی سیلیسی بیشتر به شکل رگچه‌ای و لکه‌های سیلیسی بوده و حاوی کوارتز (شکل ۲c) و بلورهای ریز کلسدونی به ویژه در بخش‌های بالایی سیستم دگرسانی هستند. دگرسان آلونیتی بیشتر به صورت توده‌های بزرگ سفید رنگ کاملاً جدا از هم رخنمون داشته و بر اساس نتایج پراش پرتو XRD بیشتر متشكل از ناتروآلونیت است. دگرسان آرژیلیک پیشرفت مهم‌ترین زون دگرسانی منطقه است که دارای ۳ مجموعه کانیایی (۱) کوارتز + کائولینیت + آلونیت + هماتیت، (۲) کوارتز + کائولینیت + آلونیت + پیریت + ۳) کوارتز + کائولینیت + آلونیت + پیریت + سریسیت است. این زون دگرسان در اثر هیدرولیز شدید کانی‌های فلدسپار پتاسیم و پلازیوکلازهای موجود در توفیت‌ها و آندزیت‌ها تشکیل شده‌اند. پیریت‌های زون دگرسانی فیلیک که به صورت بلورهای یوهدرال، و پراکنده در متن سنگ و نیز به صورت رگچه‌ای دیده می‌شوند بیشتر در اثر فرایندهای سوپرژن و محلول‌های اکسیدان زمینی گرمائی (ژئوترمالی) به هیدرولیکسیدهای آهن (گوتیت و لیمونیت) دگرسان شده‌اند (شکل ۲e). زون‌های دگرسانی پروپلیتیک به صورت لکه‌هایی با گسترش نسبتاً محدود از سایر زون‌های دگرسان قابل تفکیک‌اند ولی برخی از مجموعه‌های کانیایی این زون با زون دگرسان سریسیتیک تداخل و همپوشانی نشان می‌دهند.

ب) دگرسان سوپرژن: این نوع دگرسانی با حضور کانیهایی چون جاروسیت (شکل ۲f)، آلونیت، کائولینیت، لیمونیت، گوتیت، هماتیت، سولفور طبیعی و ژیپس (شکل ۳a) قابل تشخیص است (شکل ۳b).

۲- زون‌های دگرسانی حاشیه رودخانه قزل اوزن: این زون‌ها که در امتداد حاشیه رودخانه قزل اوزن، بويژه جنوب روستای سجهرود دیده می‌شوند و نسبت به زون‌های دگرسانی مرتبط با زون برشی منطقه وسعت و گسترش کمتری دارند (شکل ۱). سنگ‌های میزبان این زون‌ها از آندزیت، ریوداسیت، توف سنگی شیشه‌ای، توف سنگی بلورین و دایک‌های مونزونیتی تشکیل شده‌اند. نمونه‌های زمین‌شیمیایی برداشت شده از محدوده این زون‌ها نسبت به عناصر Ti, Fe, Au, Hg, Ag, Sn, W, Sb ناهنجاری نشان می‌دهند. بر اساس شواهد صحرایی و آزمایشگاهی این زون‌ها شامل سه زون (۱) آرژیلیکی، (۲) کالک سیلیکاتی (اپیدوت، پرهنیت، زئولیت، کلسیت، فلوریت، پیریت، آلبیت، فلدسپار پتاسیم، کوارتز و کلسدونی) (شکل ۳c)، و (۳) زئولیتی (آنالیسم و لامونیت) هستند. زون آرژیلیکی در مقایسه با دو زون دیگر گسترش

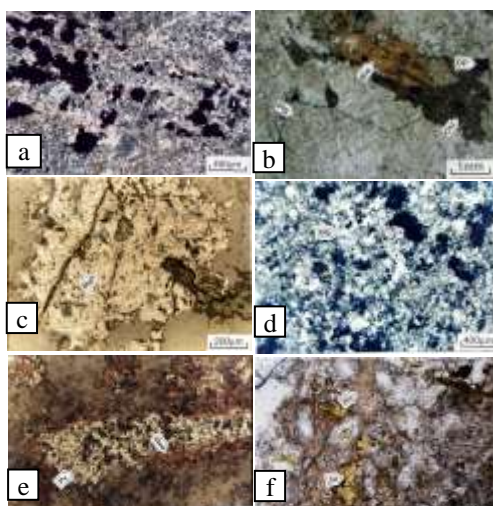
بیشتری دارد. زون کالک سیلیکاتی به شکل رگهای و لکهای برشی در درون زون آرزیلیک پراکنده‌اند. در این زون اپیدوت به شکل رگهای و برشی (شکل ۳c)، کوارتز با بافت دروزهای (شکل ۳e) و شانهای همراه با نوارهایی با ترکیب کلسیونی، پرهنیت با اگرگات شعاعی و نیز جانشینی به جای کلسیت و فلوریت (شکل ۳e)، کلسیت به شکل رگچهای (شکل ۳f)، فلوریت به شکل بلورهای مکعبی (شکل ۴a)، پیریت به شکل های دوقطبی (شکل ۴b)، کرمی (شکل ۴c) و گرد، دیده می‌شوند که اغلب به گوتیت و لیمونیت دگرسان شده است. زون زئولیتی در بخش بیرونی سیستم، به شکل رگچهای (شکل ۴d) و جانشینی به جای پلاژیوکلازها در واحدهای آندزیتی تشکیل شده است (شکل ۴e).

گونه‌های زون‌های دگرسان

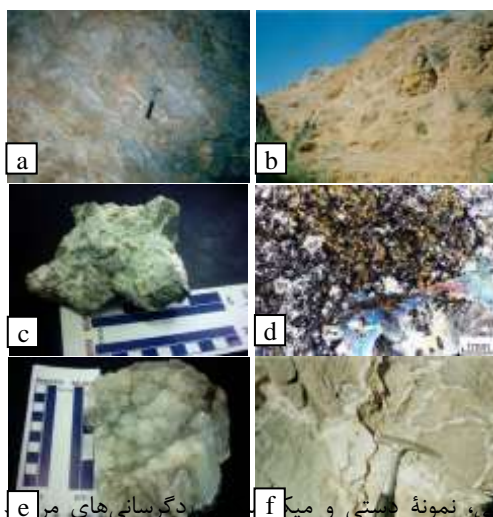
بررسی و مقایسه زون‌های دگرسان ناحیه مورد مطالعه با دگرسانی‌های مشابه در نقاط مختلف دنیا نشان می‌دهد که زون‌های دگرسان مرتبط با زون برشی منطقه از نوع دگرسانی‌های اسید-سولفاتی بوده و شباهت زیادی با سیستمهای گرمابی نیوزیلند، فیلیپین، کلرادوی آمریکا و ایتالیا دارند [۱۱، ۱۲، ۱۳ و ۱۴] (جدول ۲). این زون‌ها به مانند دگرسانی‌های اسید-سولفاتی دنیا [۱۵] در زون‌های آرزیلیکی برای عنصر Hg، As، Sb، Hg بی‌亨جاري نشان می‌دهند. به نظر می‌رسد که این دگرسانی‌ها محصول شستشوی عناصر به وسیله آبگونهای غنی از H_2SO_4 در دماهای پایین تر از $400^{\circ}C$ درجه سانتیگراد باشند [۱۶ و ۱۷]. این فرآیند در شرایط pH پایین و شرایط اکسایش رخ داده که در نتیجه یونهای سولفاتات یا گاز SO_2 به عنوان مهمترین گونه‌های سولفوری در اثر آبگون شدن بخارهای مگمایی در اعماق متوسط (محیط‌های گرمابی-ماگمایی) یا اکسایش H_2S در سطح آبهای زیرزمینی (محیط‌های حاوی بخارهای داغ) و یا اکسایش پیریت‌های از پیش موجود (محیط‌های سوپرژن) تولید شده‌اند [۱۸]. مقایسه مجموعه‌های کانیایی زون‌های دگرسانی مرتبط با زون برشی منطقه با انواع محیط‌های اسید-سولفاتی (جدول ۲) نشان دهنده مشابهت زیاد زون‌های دگرسانی منطقه با مجموعه‌های کانیایی محیط‌های حاوی بخارهای داغ و محیط‌های سوپرژن است. مطالعات انجام شده حاکی از آن است که زون‌های دگرسانی حاشیه رودخانه قزل اوزن از نوع دگرسانی‌های با pH خنثی بوده و شباهت زیادی با دگرسانی‌های نیوزیلند، مکریک و فیلیپین دارند [۱۴، ۱۹، ۲۰ و ۱۱] (جدول ۳) دارند. مجموعه‌های کانیایی زون‌های دگرسانی حاشیه رودخانه قزل اوزن احتمالاً توسط سیال کلریدی با pH تقریباً خنثی شکل گرفته‌اند [۱۱ و ۲۱].

سن زون‌های دگرسان

Shawahi چون وجود دگرسانی‌های وسیع در طول زون برشی جنوب منطقه، قطع شدگی استوک‌های کوارتز مونزو-دیوریت تا مونزو-نیت الیگوسن به وسیله زون برشی، دگرسانی دایک‌های نفوذی الیگوسن، قطع شدگی سازند سرخ زیرین به سن الیگوسن فوقانی به وسیله



شکل ۲ تصاویر میکروسکوپی نمونه‌های مربوط به دگرسانی‌های مرتبط با زون پرشه منطقه.a) رگچه‌های سریسیت همراه با پیریت در زون دگرسانی فیلیک (نور XPL). b) زون دگرسانی پروپلیتیک که در آن کلریت از تجزیه بیوتیت به وجود آمده است (نور XPL). c) کانی مگهمیت که در اثر دگرسانی مگنتیت سنگ اولیه به وجود آمده است (نور PPL). d) کوارتز در زون سیلیسی (نور XPL). e) پیریت‌های زون فیلیک که از حاشیه به گوئیت تبدیل شده‌اند (نور PPL). f) تشکیل کانی جاروسیت در طول فرایند سوپرژن.



شکل ۳ تصاویر صحرائی، نمونه دستی و میکروسکوپی دگرسانی‌های مرا [e] با زون برشی و حاشیه رودخانه قزل اوزن. (a) رگچه‌های زیپس در دگرسان‌های رostatی انتر که در طول فرآیند سوپرژن تشکیل شده‌اند. (b) نمایی از دگرسان‌های اسید سولفاتی سوپرژن. (c) نمونه دستی از زون دگرسان کالک سیلیکاتی. (d) تصویر میکروسکوپی از کانی اپیدوت که روی کانی‌های کوارتز و پرهنیت قرار گرفته است (نور XPL). (e) کوارتز با بافت دروزهای. (f) رگچه‌های کلسیتی در درون زون‌های دگرسان حاشیه رودخانه قزل اوزن.





شکل ۴ تصاویر میکروسکوپی، نمونه دستی و صنایعی نمونه‌های مربوط به زون دگرسان حاشیه رودخانه قزل اوزن. a) فلوریت کوبیک که با کانیهای پرهنیت جانشین شده است (نور XPL). b) پیریت با بافت دوقلویی (نور PPL). c) پیریت کرمی شکل در زون کالک سیلیکاتی (نور PPL). d) رگچه‌های زئولیتی در زون پروپلیتیک (نور XPL). e) نمونه دستی کانی زئولیت که جانشین پلازیوکلازهای واحدهای آندزیتی شده است. f) تولید سولفور در سطح دگرسانی‌های اسید سولفاتی.

جدول ۲ مقایسه بین دگرسانی‌های مرتبه با زون برشی چهارگوش برنده با دگرسانی‌های اسید-سولفاتی مشابه در نقاط مختلف دنیا.

| مرجع | محیط | | | جمعات کانیایی | مینرالیزاسیون وابسته | سن | کشور | نام محل |
|-----------------------------|-----------------|---------------|--------|--|----------------------|------------|--------------------|--------------|
| | بخار ماگمایی | بخارات داغ | سوپرژن | | | | | |
| Field and Lombardi (1972) | | | * | کوارتز + آلونیت + کانولینیت + پیریت + هاولیزیت + دیکیت | فلزات پایه | پلیوسن | ایتالیا | Tolfa |
| Brown (1978) | * | | | کوارتز + آلونیت + کانولینیت + پیریت + سریسیت | مس پورفیری | Ma۲۳ | کلرودادی آمریکا | Red monntain |
| Stoffregen (1987) | * | | | کوارتز + آلونیت + کانولینیت + پیریت | طلاء-نقره-مس | Ma۲۲/۵ | کلرودادی آمریکا | Summitivil |
| Hedenquist and Brown (1989) | | * | | کانولینیت + آلونیت + پیریت + سولفور طبیعی | - | عهد حاضر | نیوزیلند | Waiotopu |
| Reyes (1990) | * | * | | کانولینیت + آلونیت + پیروفیلیت + ایلمنیت + دیاسپور + آندرادیت + تورمالین | - | عهد حاضر | فیلیپین | Philippine |
| هادیزاده (۱۳۸۳) | | * | * | کوارتز + آلونیت + کانولینیت + پیریت + سولفور طبیعی + کلسیدونی + سریسیت | - | الیگومیوسن | ایران | Barandagh |

جدول ۳ مقایسه بین سیستم دگرسانی حاشیه رودخانه قزل اوزن با سیستم‌های هیدرولرمالی مشابه در دنیا.

| نام محل | کشور | سن | تجمعات کائیایی | مرجع |
|-------------|----------|-----------------------|---|-----------------------------|
| Waitaupu | نیوزیلند | عهد حاضر | آلبیت + پرهنیت + کوارتز + کلسیت + اپیدوت + پیریت + روتینل + ایلیت + اورتوکلاز | Hedenquist and Brown (1989) |
| Philippine | فیلیپین | عهد حاضر | آلبیت + کلسیت + کوارتز + ایلیت + پرهنیت + پیریت + اپیدوت + رنولیت + اسفن | Reyes (1990) |
| Cerroprieto | مکزیک | میوسن فوکانی - پلیوسن | کوارتز + اورتوکلاز + آلبیت + پرهنیت + رنولیت + اپیدوت + اکنیولیت + ولاستونیت | Bird et al (1984) |
| Barandagh | ایران | الیگومیوسن | کوارتز + پرهنیت + اپیدوت + آلبیت + اورتوکلاز + فلوریت + پیریت | هادی زاده (۱۴۸۳) |

دایک‌های نفوذی منطقه، نشان می‌دهند که سن زون‌های دگرسانی مرتبط با زون برشی منطقه جوانتر از الیگوسن فوکانی است. با توجه به اینکه سازند سرخ فوکانی (میوسن فوکانی) از دگرسانی‌های هیپوژن متاثر نشده است، از اینرو سن تقریبی این دگرسانی‌ها را می‌توان در محدوده الیگوسن فوکانی تا اواسط میوسن در نظر گرفت. از آنجا که دگرسانی‌های منطقه هم در امتداد زون برشی و هم در حاشیه رودخانه قزل اوزن دایک‌های منطقه را دگرسان کرده‌اند، لذا هر دو دگرسانی پس از دایک‌ها و بطور همزمان تشکیل شده و مربوط به یک تک سیستم زمین گرمایی است. اختلاف در شرایط تشکیل احتمالاً باعث پیدایش دو نوع دگرسانی با مجموعه‌های کائیایی متفاوت شده است.

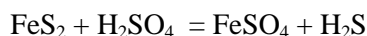
شرایط تشکیل زون‌های دگرسان

۱- زون‌های دگرسان اسید- سولفاتی

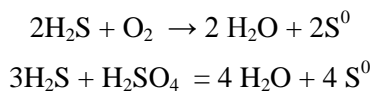
الف- زون‌های دگرسان اسید - سولفاتی هیپوژن: با توجه به فاصله زمانی کوتاه بین جایگیری توده‌های نفوذی و تشکیل دگرسانی‌ها، احتمالاً توده‌های نفوذی در به وجود آمدن این زون‌های دگرسان نقش بسیار مهمی داشته‌اند. احتمالاً این توده‌ها به عنوان یک منبع گرمایی برای داغ شدن و چرخش همرفتی آب‌های زیرزمینی با منشاء جوی عمل کرده‌اند. از آنجا که این زون‌های دگرسان بیشتر در امتداد زون برشی و شکستگی‌های اطراف آن مشاهده می‌شوند، می‌توان گفت که این شکستگی‌ها به عنوان معابر اصلی برای هدایت آبگونهای هیپوژن عمل کرده‌اند. بالاترین این آبگونهای داغ اکسید کننده سبب اکسیده کردن پیریت‌های موجود در این سنگ‌ها شده و تولید اسید سولفوریک کرده است [۲۲].



در مرحله بعد اسید سولفوریک تولید شده در اثر واکنش با پیریت‌های باقیمانده باعث ایجاد H_2S شده است.

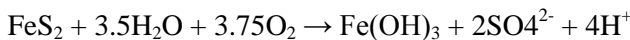


H_2S تولیده شده ضمن بالا آمدن، در سطح آب زیرزمینی احتمالاً اکسیده شده و تولید سولفور طبیعی کرده است [۲۲] که آثار آن در سطح این دگرسانی‌ها کاملاً مشهود است (شکل ۴f).



اسید سولفوریک آزاد شده در روند چنین فرآیندهایی با حمله به سنگ‌های دیواره غنی از پتاسیم در طول مسیر حرکت، موجب تشکیل کانیهای سریسیت، کائولینیت، کوارتز و آلونیت و تشکیل زون دگرسانی آرزیلیک پیشرفته شده‌اند.

ب- زون‌های دگرسان اسید- سولفاتی سوپرژن: این زون‌ها احتمالاً در اثر بالا آمدگی یک زون سولفایدی تا سطح آب‌های زیرزمینی در اثر فرآیندهای زمین ساختی و یا روی مجموعه‌های گرمابی ماقمایی غنی از پیریت تشکیل شده‌اند [۱۸]. عامل اصلی تشکیل این زون‌ها نیز به مانند زون‌های دگرسان اسید - سولفاتی هیپوزن، اسید سولفوریک بوده که در اثر اکسایش پیریت‌ها بوجود آمده است [۲۳]:



اسید سولفوریک تولید شده در این مرحله ضمن حمله به سنگ‌های مجاور، فلدسپارها را به کائولینیت تبدیل کرده است. این اسید همچنین با پتاسیم آزاد شده از دگرسانی فلدسپار پتاسیم و کانی گوتیت (حاصله از اکسایش پیریت‌ها) واکنش داده و تولید کانی جاروسیت کرده است [۱۳]:



شکل ۵a توالی پاراژنزی تشکیل کانیهای تشکیل دهنده این دگرسانی‌ها را طی فرایندهای هیپوزن و سوپرژن نشان می‌دهد.

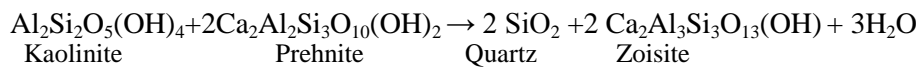
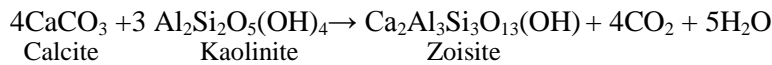
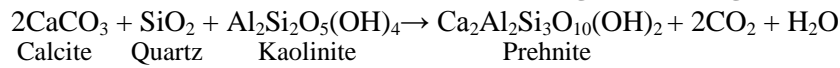
۲- زون‌های دگرسان با pH خنثی: برای آگاهی از شرایط تشکیل این دگرسانی‌ها نخست توالی پاراژنزی مجموعه‌های کانیایی با استفاده از یافته‌های میکروسکوپی و تجزیه‌ای تعیین شد (شکل ۵b).

سپس با استفاده از نرم افزار ترمومکالک شرایط P-T تشکیل سیستم محاسبه شد. از آنجا که مقادیر X_{CO_2} و X_{H2O} نامشخص است لذا نمودارهای P-T برای مقادیر مختلف X_{H2O} و X_{CO_2} ترسیم شدند (شکل ۶). با تطبیق این نمودارها با مجموعه‌های کانیایی و با توجه به مرتبط بودن این دگرسانی‌ها با یک سیستم زمین گرمایی، واکنش‌های انجام شده در روند پیشرفت این دگرسانی‌ها به ترتیب کاهش دما به صورت زیر است.

| Mineral | Alteration | |
|---------------|------------|-----------|
| | Hypogene | Supergene |
| Alunite | | |
| Quartz | | |
| Jarocite | | |
| Hematite | | |
| Limonite | | |
| Goethite | | |
| Chlorite | | |
| Epidote | | |
| Zeolite | | |
| Prehnite | | |
| Gypsum | | |
| Native sulfur | | |
| Pyrite | | |
| Sericite | | |
| Calcite | | |
| Maghemite | | a) |

| Mineral | Alteration | |
|-----------|------------|-----------|
| | Hypogene | Supergene |
| Quartz | — | — |
| Prehnite | — | b) |
| Zoisite | — | — |
| Fluorite | — | — |
| Zeolite | — | — |
| Calcite | — | — |
| Clay | — | — |
| Malachite | — | — |

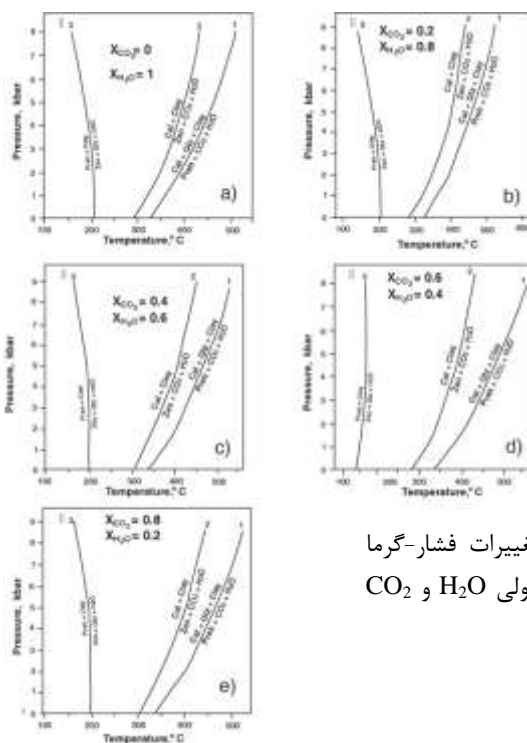
شکل ۵ توالی پاراژنزی تشکیل کانیها در طول فرآیندهای هیپوژن و سوپرژن. a) دگرسانی‌های اسید-سولفاتی و b) درسانی‌های با pH خنثی.



با توجه به دگرسانی‌های بالا در یک سیستم باز رخ داده‌اند، بنابراین بیشترین فشاری که برای این سیستم می‌توان در نظر گرفت کمتر از یک کیلوبار خواهد بود. با در نظر گرفتن مقدار این فشار به عنوان بیشترین فشار سیستم دماهای متفاوتی در X_{CO_2} و $X_{\text{H}_2\text{O}}$ فرضی به دست آمد (جدول ۴). از بین دیاگرامهای ترسیم شده با توجه به وجود کلسیت و نیز زمین گرمایی بودن سیستم (غالب بودن $X_{\text{H}_2\text{O}}$ به X_{CO_2}) نمودار a و نمودارهای $X_{\text{CO}_2}=0$ و شرایط $X_{\text{H}_2\text{O}}=0.2$ و 0.8 به علت بالا بودن مقدار X_{CO_2} نسبت به $X_{\text{H}_2\text{O}}$ برای توجیه این سیستم کاربردی ندارند. از بین نمودارهای b و c، نمودار b به دلیل بالا بودن بیش از حد مقدار آب نسبت به CO_2 برای تعیین دماهای تشکیل کانیهای سیستم منطقی به نظر می‌رسد. از این رو در شرایط $X_{\text{H}_2\text{O}}=0.2$ و $X_{\text{CO}_2}=0.8$ محدوده‌های دماهی برای انجام واکنش‌های مذکور به ترتیب برابر با $T_1=310-370^\circ\text{C}$ ، $T_2=290-325^\circ\text{C}$ و $T_3=200-210^\circ\text{C}$ خواهد بود.

به طور کلی نشست و بالا آمدن آبهای گرم عمیق از طریق شکستگی‌ها به داخل سنگ‌های بالاتر باعث دگرسان شدن سنگ‌های طول مسیر و تشکیل کانیهای کائولینیت، کوارتز، کلسیت و فلوریت شده است. تشکیل این کانیها احتمالاً در دماهایی بیش از 350°C درجه سانتیگراد روی داده است. محلول‌های بالا احتمالاً غنی از کلسیم و فلور بوده‌اند. وجود کلسیت و کوارتز

در روزهای می‌تواند به دلیل فرایند جوشش در طول گسترش این دگرسانی‌ها باشد [۲۱ و ۱۱]. با توجه به رگهای بودن سیستم احتمالاً کاهش فشار نقش مهمی در ایجاد فرایند جوشش و نهشته شدن کانی‌های مانند فلوریت داشته است [۲۴].



شکل ۶ نمودارهای تغییرات فشار-گرما (T-P) در کسرهای مولی CO_2 و H_2O مختلف.

برداشت

مطالعات انجام شده نشان می‌دهد بی‌هنجری‌های زمین‌شیمیایی به دست آمده در چهارگوش برنده در ارتباط با زون‌های دگرسانی منطقه هستند. این زون‌های دگرسان شامل دو نوع دگرسانی ۱) مرتبط با زون برشی منطقه و ۲) حاشیه رودخانه قزل‌اوزن هستند. زون دگرسانی مرتبط با زون برشی منطقه زون اصلی بوده و شامل دو زون مجزای دگرسانی ۱) اسید سولفاتی - هیپوژن (شامل زون‌های سیلیسی، آلونیتی، آرژیلیک پیشرفت، سریسیتی و پروپلیتیک) و ۲) اسید سولفاتی سوپرژن است. زون دگرسان حاشیه رودخانه قزل‌اوزن شامل انواع دگرسانی‌های با pH خنثی (شامل زون‌های آرژیلیکی، کالک سیلیکاتی و زئولیتی) است. این زون‌ها در محدوده زمانی الیگوسن فوقانی تا میوسن میانی در اثر عملکرد یک تک سیستم زمین گرمایی تشکیل شده‌اند. دگرسانی‌های اسید - سولفاتی در اثر بخارهای جدا شده از آبگونهای در حال جوشش غنی از کلرید مرتبط با مناطق عمیق تشکیل شده‌اند. H_2S جدا شده از این آبگونهای در اثر فرایند جوشش ضمن حرکت رو به بالا در سطح آب‌های زیر زمینی اکسید شده و تشکیل اسید سولفوریک داده است. این فرایند نقش اصلی در ایجاد این دگرسانی‌ها ایفا کرده است. تفاوت چشمگیر این دگرسانی‌ها با دگرسانی‌های با pH خنثی در این است که آبگونهای بوجود آورنده این دگرسانی‌ها در جهت خنثی شدن، به اندازه کافی با سنگ‌های مسیر خود واکنش

نداده‌اند. وجود مقدار قابل ملاحظه‌ای از پیریت در سنگ‌های میزبان، اکسایش پیریت‌ها و تولید اسید سولفوریک از آن، وجود شکستگی‌ها و زون‌های برشی، چرخش همرفتی آبهای زیرزمینی با منشاء جوی با خاستگاه گرمایی (توده نفوذی) و کاهش فشار سیستم در اثر فرایندهای جوشش از جمله عواملی هستند که در فرایند گسترش دگرسانی‌های منطقه نقش بنیادی داشته‌اند. تلفیق نتایج حاصل از بررسی‌های صحرایی، کانی‌شناسی و زمین‌شیمیایی اکتشافی نشان می‌دهد که ناحیه برنده پتانسیل مناسبی در اکتشاف و شناسایی کانسارهای طلا و نقره اپی‌ترمالی و نیز کانسارهای چند فلزی طلا - نقره- مس- سرب- روی دارد.

تشکر و قدردانی

مؤلفین از حمایت‌های مالی شرکت مهندسین مشاور تهران پادیر و معاونت تحصیلات تكمیلی دانشگاه تبریز برخوردار بوده‌اند، لذا بجاست نهایت سپاس و قدردانی خود را ابراز دارند. مؤلفین همچنین از نظرات و پیشنهادات ارزنده و سازنده داوران محترم مجله سپاسگزاری می‌نمایند.

منابع

- [۱] هادی‌زاده ح، "اکتشافات ژئوشیمیایی از دیدگاه زمین‌شناسی اقتصادی در محلوده برگه توپوگرافی ۱:۰۰۰۰۰، برنده (از ورقه ۱:۱۰۰۰۰ مسوله)"، پایان‌نامه کارشناسی ارشد دانشکده علوم طبیعی دانشگاه تبریز، (۱۳۸۳) ۱۴۷ ص.
- [۲] مؤید محسن، "بررسی‌های پتروگرافیکی و پتروشیمی سنگ‌های نوار آتشفسانی- پلوتونیک منطقه طارم در ارتباط با ژنر مس"، رساله کارشناسی ارشد زمین‌شناسی دانشگاه تبریز، (۱۳۷۰) ۲۱۰ ص.
- [۳] مoid M، "بررسی نوار و لکانو- پلوتونیک ترشییری البرز غربی- آذربایجان با نگرشی ویژه به منطقه هشجین"، رساله دکترای دانشکده علوم زمین دانشگاه شهید بهشتی، (۱۳۸۰) ۳۲۸ ص.
- [۴] مؤید M، پور معافی س. م، "سنگ‌شناسی و سنگ‌زایی سنگ‌های آتشفسانی و پلوتونیک اثوسن- الیکوسن نوار ماقمایی البرز غربی- آذربایجان با نگرشی ویژه بر منطقه هشجین"، فشرده مقالات چهارمین همایش انجمن زمین‌شناسی ایران- تبریز، (۱۳۷۹) ۶۲۶-۶۲۴ ص.
- [۵] Davis R.G., Hamzehpour B., Clark G.C., "Geology of masuleh sheet (1:100000). N.W. Iran", Report, No. 24, Terhran (1972) ۱-110.
- [۶] درویش زاده ع، آسیابانه‌اع، "نقش آذرآواری‌ها در گسترش ترجیه‌ی دگرسانی گرمایی در منطقه آتشفسانی آبرش"، فصلنامه علوم زمین، شماره ۳۷-۳۸ (۱۳۷۹) ۴۹-۵۹ ص.
- [۷] حاج علیلو ب، "متالوژنی ترشییری در البرز باختری- آذربایجان (میانه- سیه‌رود) با نگرش خاص بر منطقه هشجین"، پایان‌نامه دکترای دانشکده علوم زمین دانشگاه شهید بهشتی، (۱۳۷۸) ۲۷۵ ص.
- [۸] شرکت مهندسین مشاور تهران پادیر، "طرح اکتشافات پلاسرهای حاشیه رودخانه قزل/وزن"، (۱۳۸۰) ۲۷۲ ص.

- [۹] هادیزاده ح، کلاگری ع.ا، ملک قاسمی ف، مؤذن م، "اکتشافات ژئوشیمیایی برای عناصر کمیاب در چهارگوش بزندق (۱:۵۰۰۰) شمال شرق زنجان"، هشتمین همایش انجمن زمین‌شناسی، (۱۳۸۳) ص ۱۷۵-۱۸۵.
- [۱۰] هادیزاده ح، کلاگری ع.ا، عابدینی ع، "اکتشافات ژئوشیمیایی و مطالعات کانی‌های سنگین در رسوبات رودخانه‌ای در چهارگوش ۱:۵۰۰۰۰ بزندق"، فصلنامه علوم زمین، زیر چاپ.
- [11] Reyes A.G., "Petrology of Philppine geothermal systems and the application of alteration mineralogy to their assessment, Journal of Volcanology Geothermal", Reserch 43, (1990) 279-309.
- [12] Hedenquist J.W., Brown P.R.L., "The evolution of the waiotapu geothermal system, New Zealand, based on the chemical and isotopic composition of it's fluids, minerals and rocks", Geochimica et Cosmochimica Acta. 53 (1989) 2235-2257.
- [13] Stoffregen R., "Genesis of acid-sulfate alteration and Au-Cu-Ag mineralization at Summitivill Colorado", Economic Geology 82 (1987) 1575-1591.
- [14] Field C. W., Lambardi G., "Sulfure isotope evidences the supergene origin of alunite deposits", Mineralium Deposita, 7 (1972) 113-125.
- [15] Clark D.S., Govett J.S., "Southwest pacific epithermal gold: a rock-geochemistry prespective", In: J.W. Hedenquist. N.C, White. G. Siddeley (ed). Epithermal gold mineralization of the circum-pacific, Association of Exploration Geochemists special publication, 16a (1990) 225-240.
- [16] Hemley J.J., Hostetler PB., Gud A.J., Mountjoy W.T., "some stability relations of alunit", Economic Geology, 64 (1969) 599-612.
- [17] Knight J.E., "A thermochemical study of alunite, enargite", luzonite, and tenantite deposits, Economic Geology, 72 (1977) 1321-1336.
- [18] Rye R.O., Bethk P.M., Wasserman M.D., "The Stable isotop geochemistry of acid-sulfate alteration", Economic Geology, 87 (1992) 225-262.
- [19] Henley R.W., Ellis A.J., "Geothermal systems ancient and modern: A geochemical review Earth", Science Review, 19 (1983) 1-50.
- [20] Bird D.K., Schiffman P., Elders W.A., Williams A.E., McDowell S.D., "Calc-Silicate mineralization active geothermal system", Economic Geology, 79 (1984) 671-695.
- [21] Brown P.R.L., "Hydrothermal alteration in active geothermal field", Review of Earth planet Science, 6 (1978) 229-250.
- [22] Guilbert J.M., Park F., "The geology of ore deposits", W.H. Freeman and Company. New York (1985) 1-985.
- [23] Alpers CH. Brimhall G.H., "Paleohydrologic evolution and geochemical metal enrichment at Laescondida, atacama desert", Northern Chile, Economic Geology, 84 (1989) 229-255
- [24] Richardson C.K., Holland. H.D., "Flourite deposition in hydrothermal systems", Geochimica et Cosmochimica Acta, 43 (1979) 1327-1335.